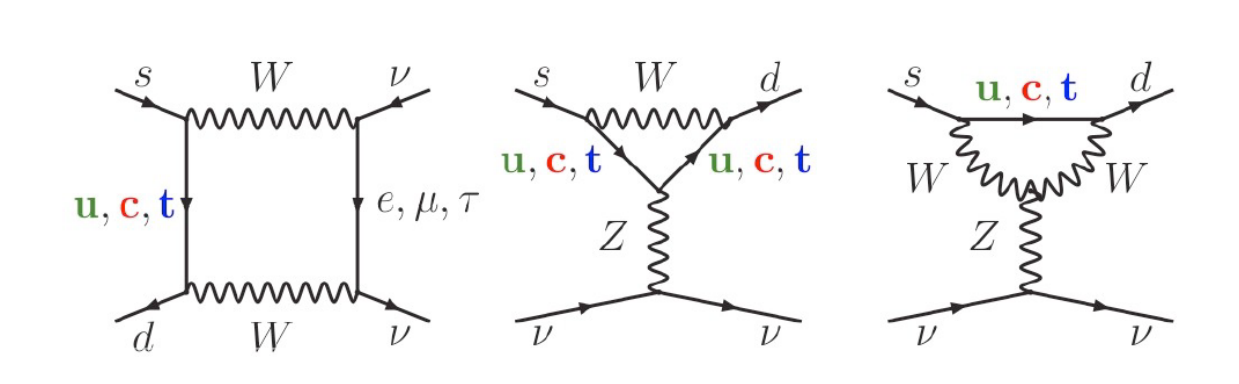
NA62 a Firenze

Roberta Volpe Consiglio di Sezione INFN 1 Luglio 2016

Motivazioni per NA62

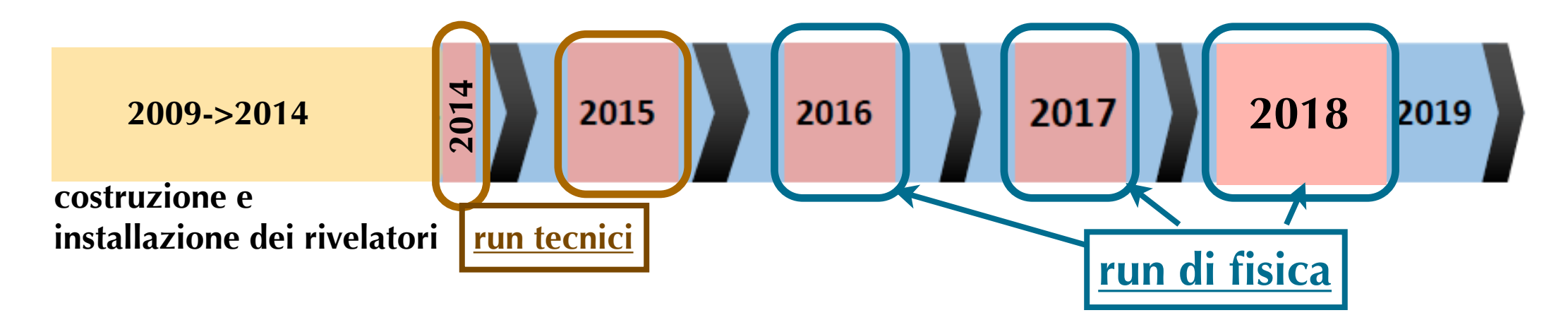


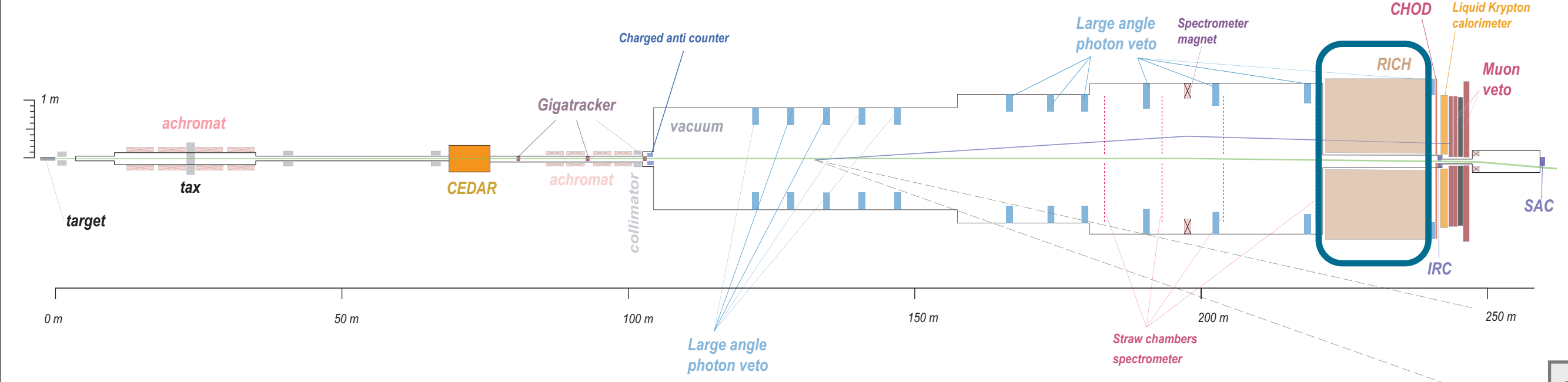
BR(
$$K_L \to \pi^0 \nu \bar{\nu}$$
) = $(3.4 \pm 0.6) \times 10^{-11}$
BR($K^+ \to \pi^+ \nu \bar{\nu}$) = $(8.4 \pm 1.0) \times 10^{-11}$

• misura piu` precisa per BR($K^+ \rightarrow \pi^+ \nu \nu$)

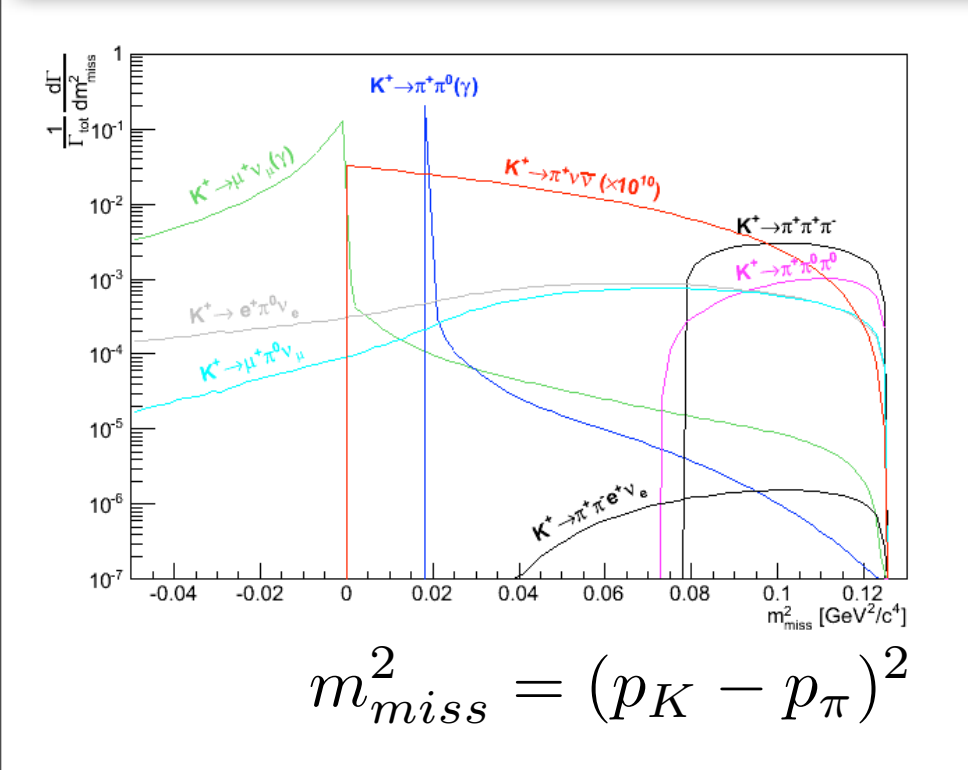
$$\mathcal{B}(K^+ \to \pi^+ \nu \bar{\nu})_{\text{exp}} = (17.3^{+11.5}_{-10.5}) \cdot 10^{-11}$$

AGS-E787/E949 PRL101 (2008) 191802



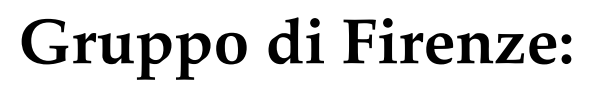


Motivazioni per il RICH



Ingredienti necessari:

- · regione di decadimento lunga 60 m
- ottime
 - ricostruzione cinematica
 - ·{ridentificazione K,π,μ
 - · ermeticita` nella rivelazione di fotoni e muoni
 - · misure di tempi



Andrea Bizzeti

Francesca Bucci

Roberto Ciaranfi

Enrico Iacopini

Giuseppe Latino

Massimo Lenti

Roberta Volpe

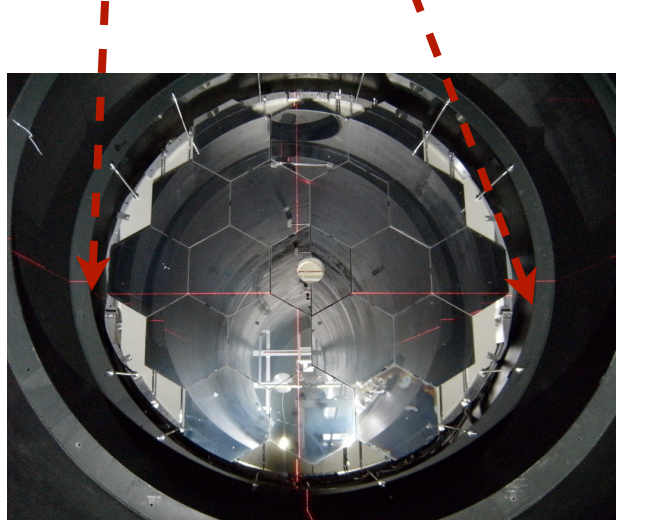
recipiente:

- diametro 4 -> 3.4 m
- lungo 17 m
- gas neon ~ pressione atmosferica

 $P_{\mathbf{K}}$



- raggio di curvatura: 34 m
- riflettivita` > 90%





segnale:

Costruzione e analisi dati del RICH

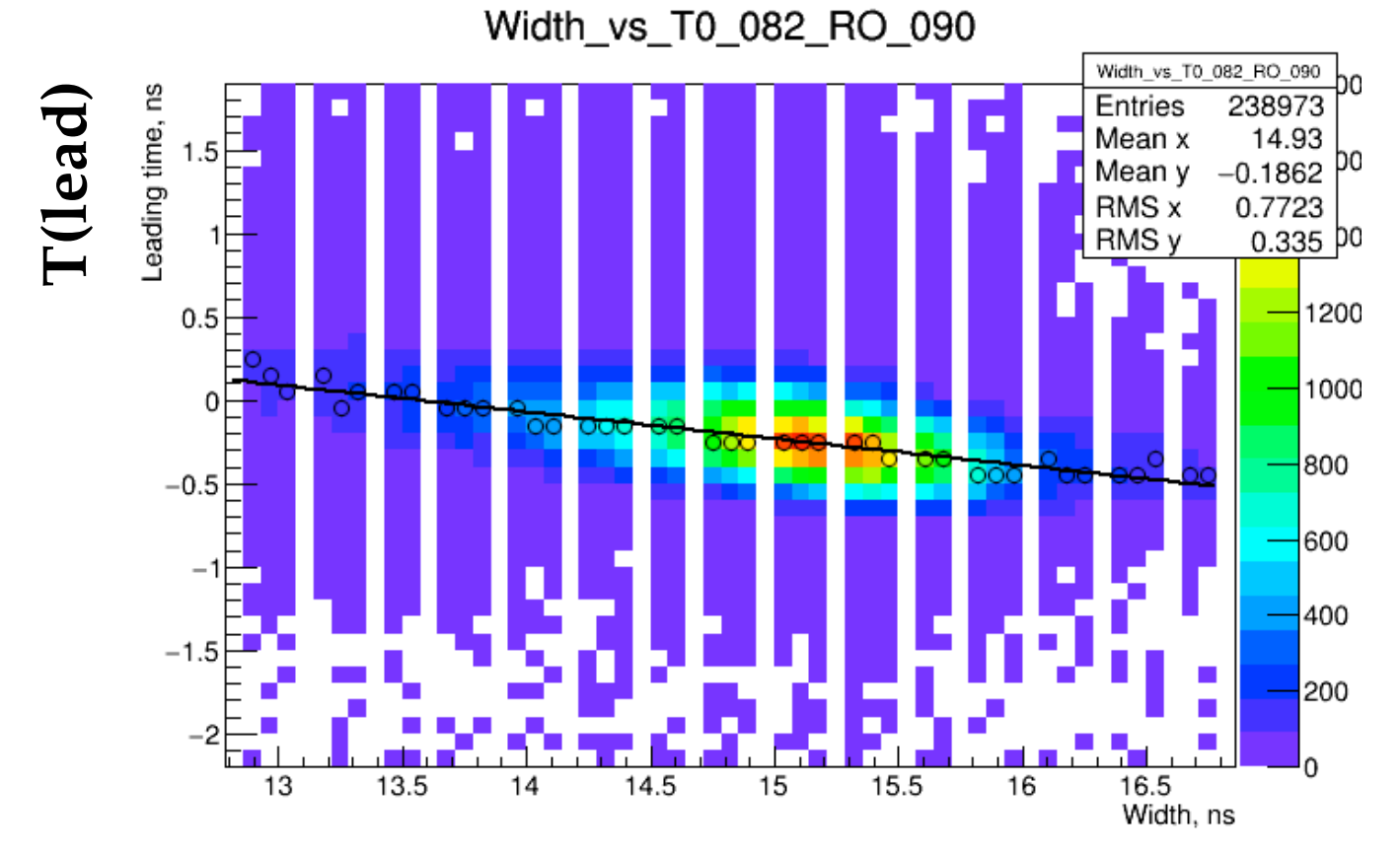
(insieme a INFN PG e CERN)

Correzioni temporali

- Allineamento temporale
 - Slewing corrections
 - T0

- "Slewing corrections":

- 2000 fotomoltiplicatori, canali di elettronica
- alimentazione: 900V
- amplificatore di corrente
- discriminatore
- 4(+1 per le "supercelle") schede "TELL" con output tempi: "leading" e "trailing"



width = T(trail) - T(lead)

per ognuno dei ~2000 canali:

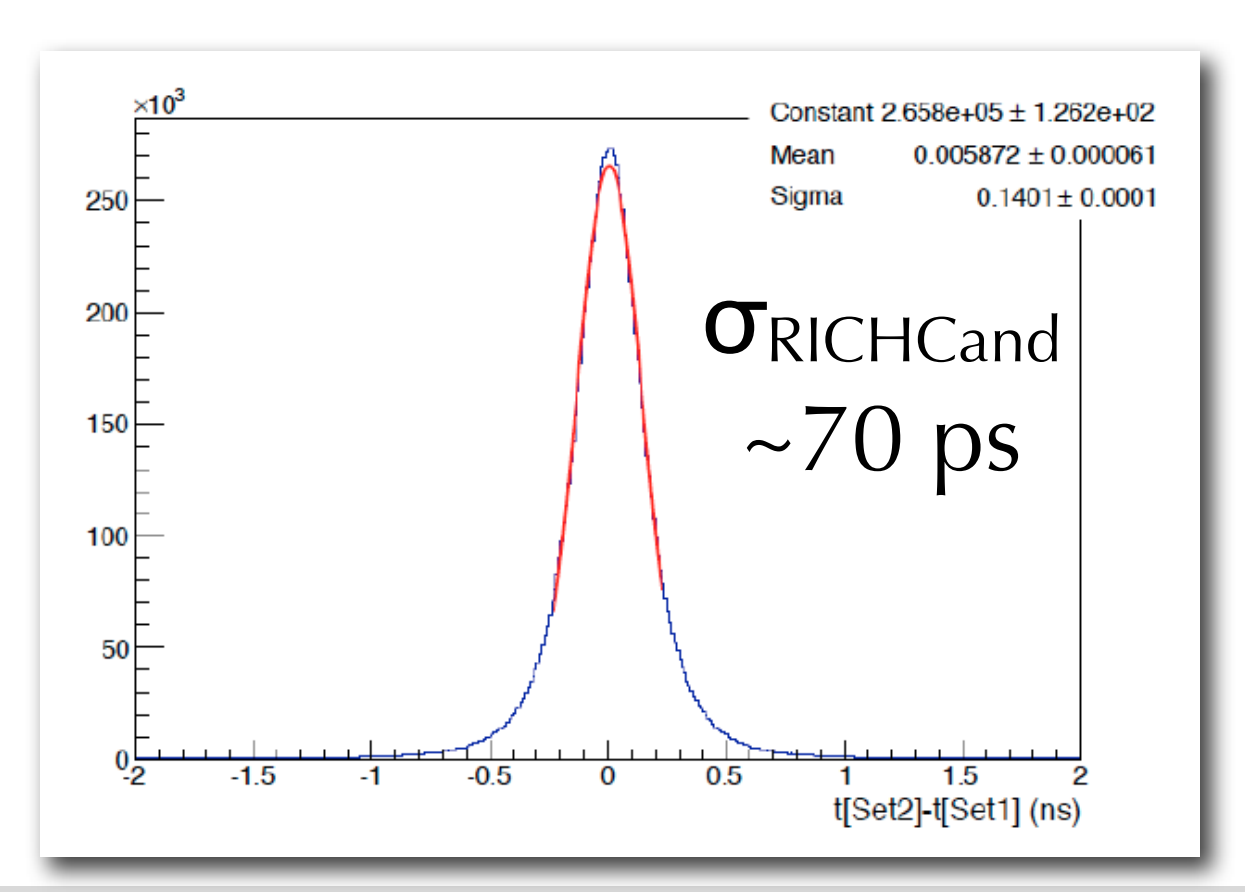
- fit lineare
- intervallo del fit dipende dalla distribuzione per ogni canale

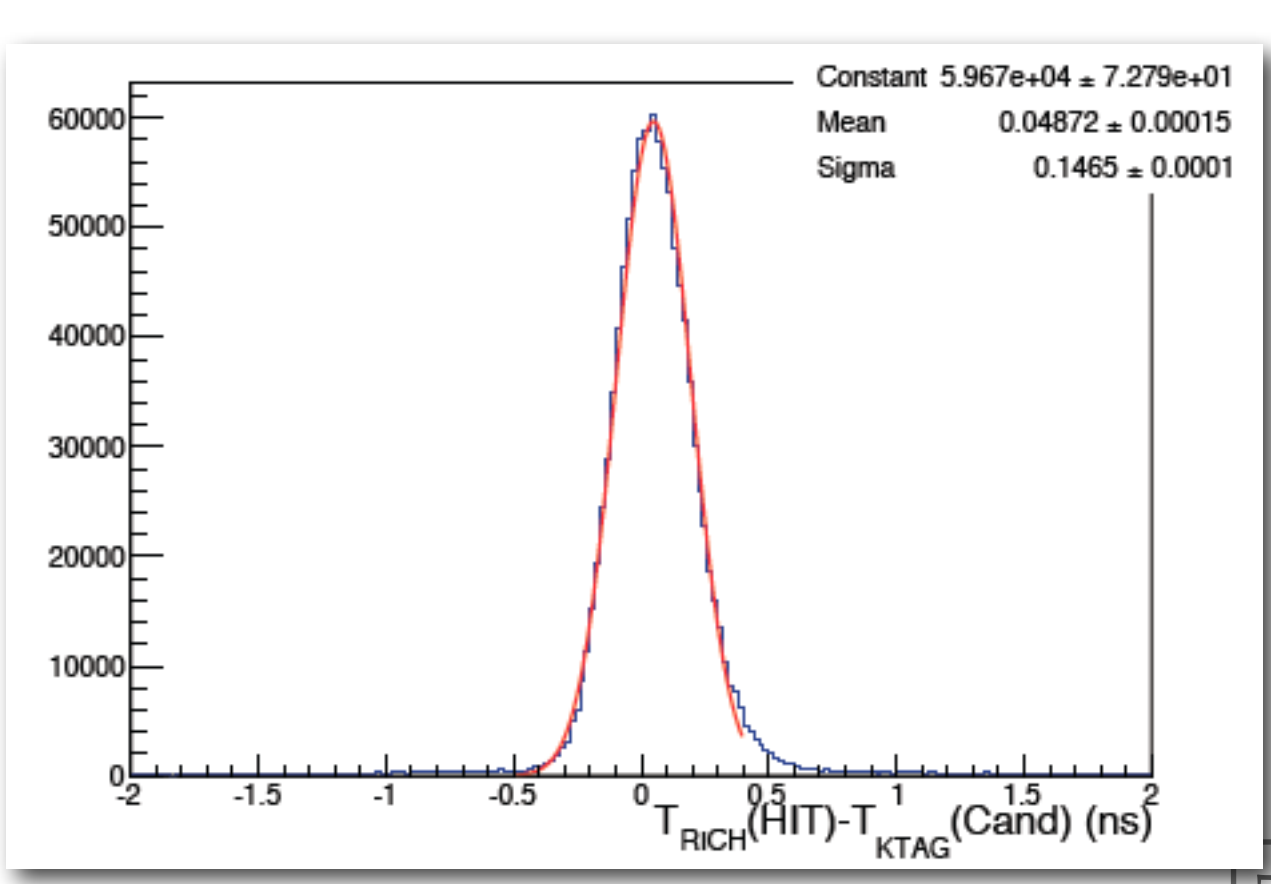
Correzioni temporali

Procedura:

- Con i primi run si ottengono:
 - Offset rispetto ad un rivelatore di riferimento
 - Correzioni T0 "preliminari" (rispetto al KTAG) da inserire nel "Run Control" in modo che i dati raw siano presi con delle correzioni gia` applicate. Utile soprattutto quando il RICH viene usato anche come trigger L0
- Dopo aver preso un run con le correzioni preliminari applicate online, si calcolano le correzioni di slewing (rispetto al KTAG)
- Dopo aver applicato le correzioni di slewing, nei run successivi si calcolano i T0 (rispetto al KTAG)

differenza tra il tempo medio di due gruppi di hit nello stesso anello Cherenkov





Selezione per studio della separazione pione/muone

2 tipi di algoritmi per ricostruire gli anelli:

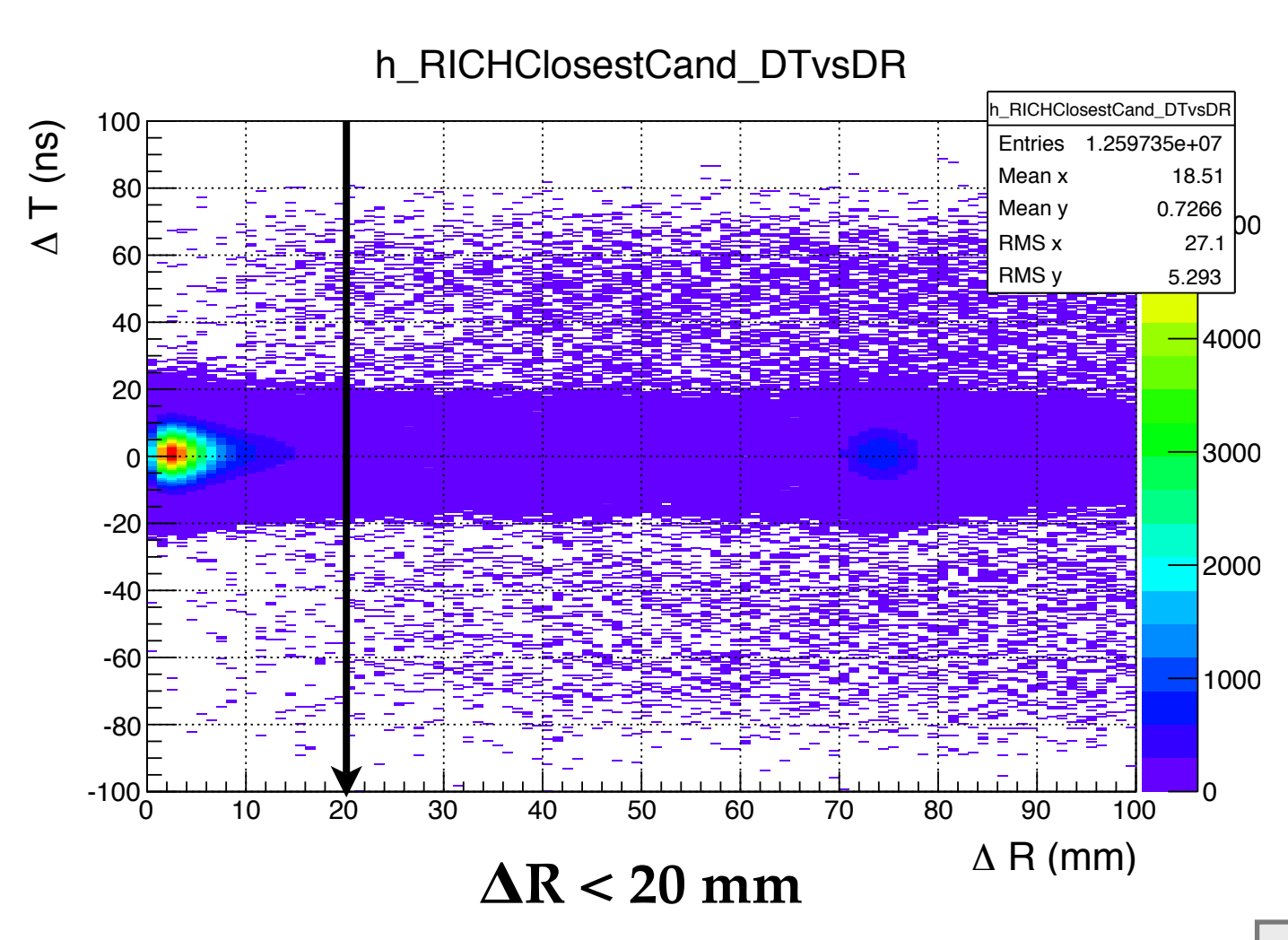
- single ring
- multiring

Selezione di eventi con una singola traccia "buona"

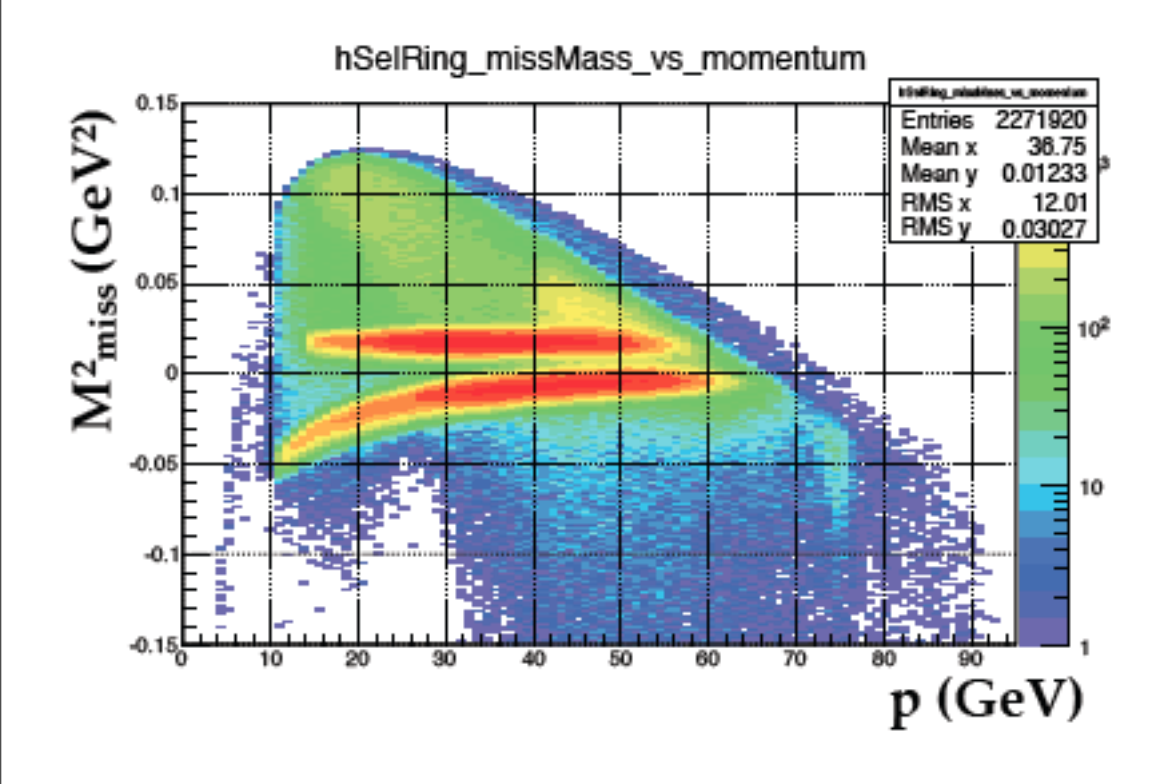
definizione di traccia buona:

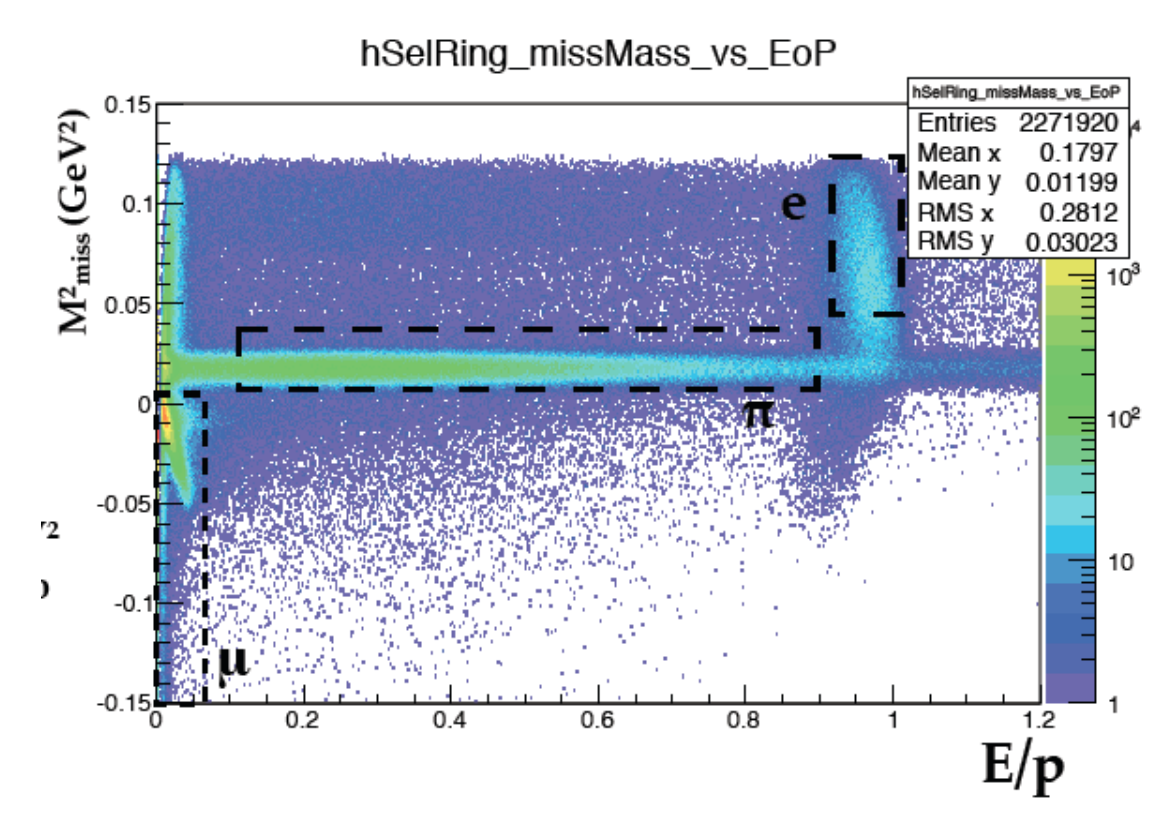
- quality cuts
- reject multivertex
- positive charge
- geometrical acceptance
- no fake
- LKr matching
- CHOD matching

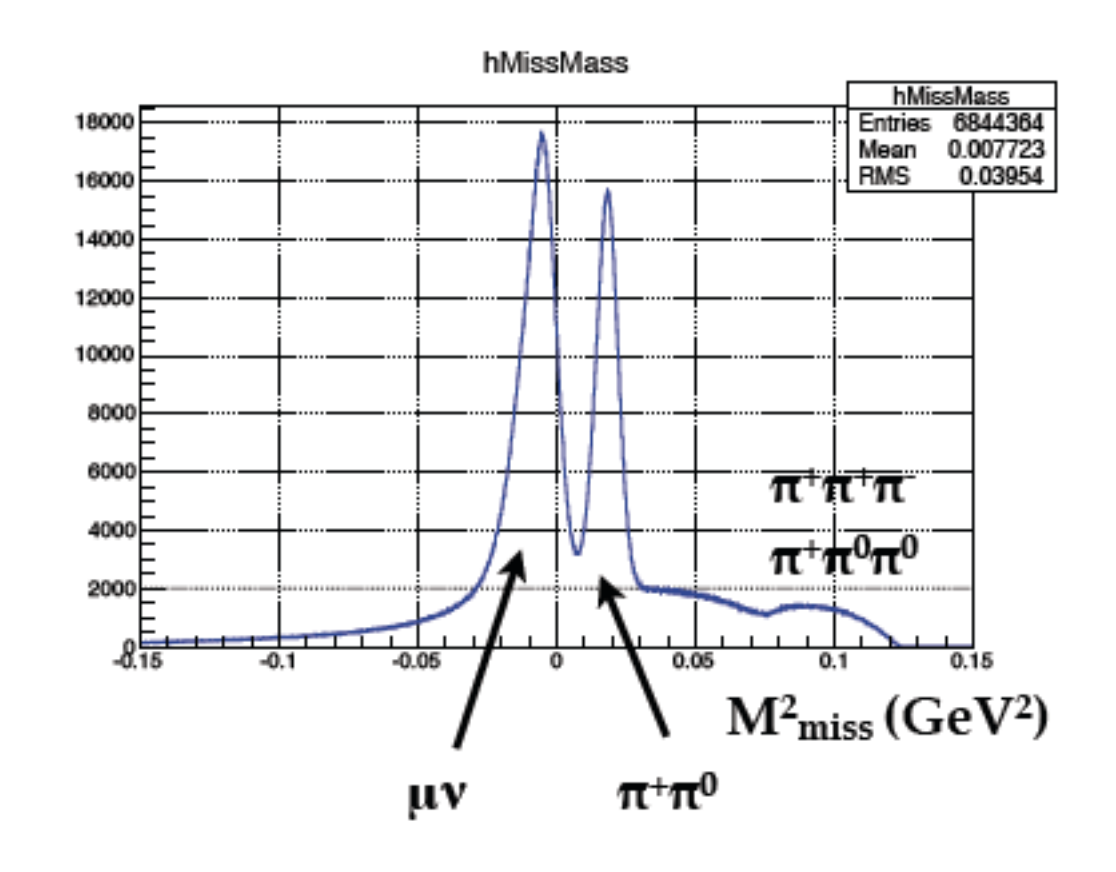
Ring-track matching: take the ring closest to the "projected" track



Selezione







Pion sample:

- 0.1 < E/p < 0.88
- $0.01 < M_{miss}^2 < 0.04 \text{ GeV}^2$
- track NOT associated to any MUV3 candidate

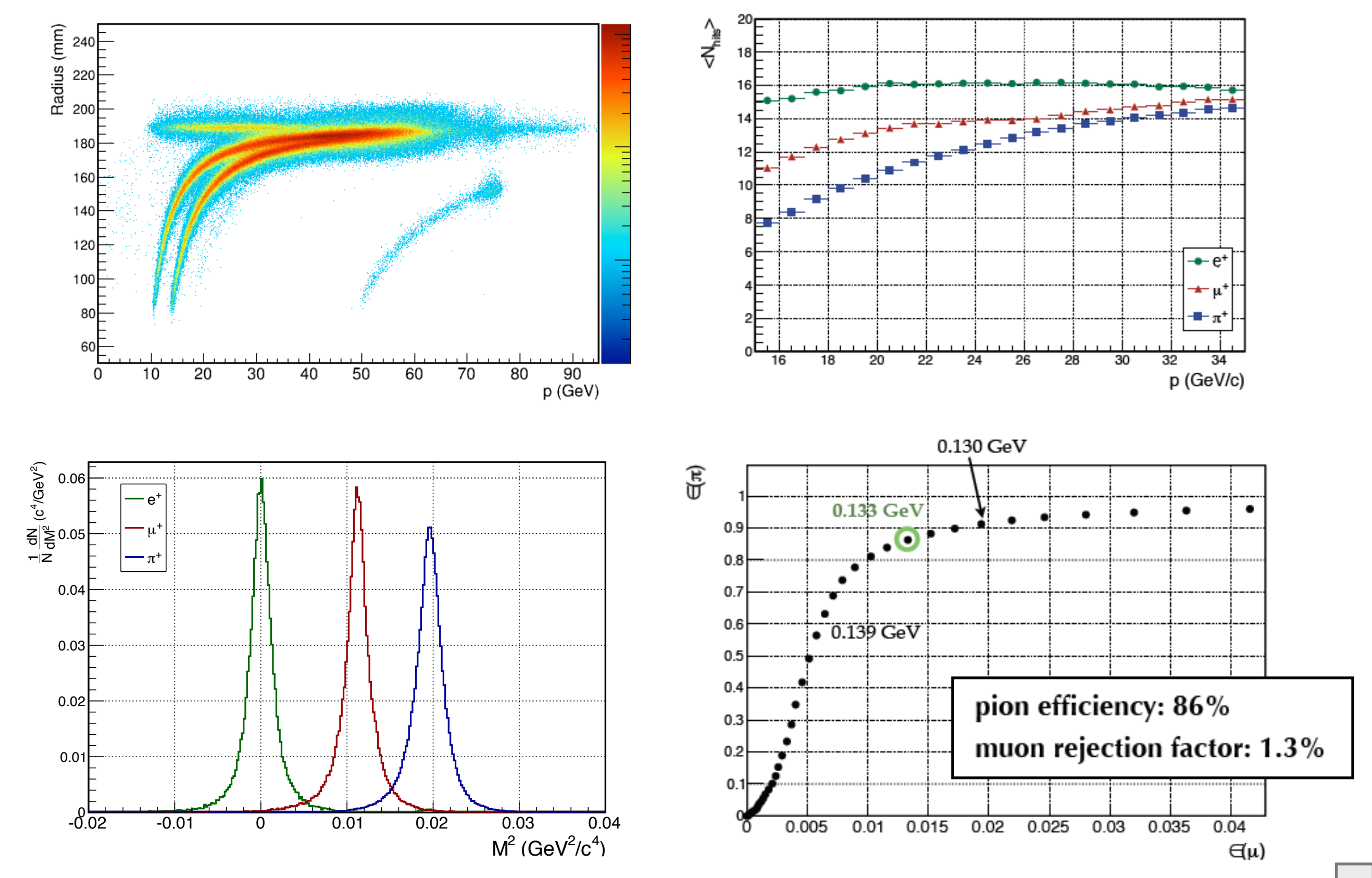
Positron sample:

- 0.94 < E/p < 1.
- M2miss >0.05 GeV2
- track NOT associated to any MUV3 candidate

Muon sample:

- E/p < 0.05
- $M^2_{miss} < 0.005 \text{ GeV}^2$
- track associated to a MUV3 candidate

Separazione pione/muone



Raggio anello del positrone => Misura indice di rifrazione

$$m^2 = n^2 p^2 (1 - \frac{1}{n^2} - \sin^2 \theta)$$

$$\theta = \frac{R}{L_F} \qquad L_F = 17000 \,\mathrm{mm}$$

hElecRingRadius

111875

189.4

2.745

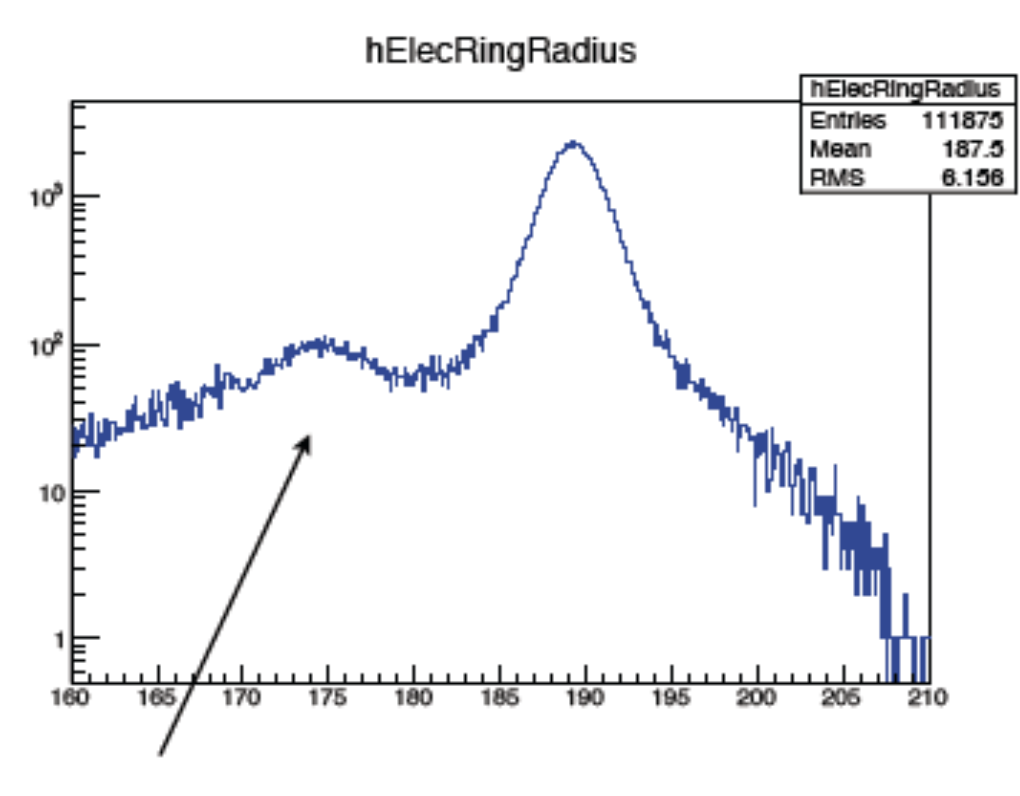
261.8 / 62

2.204e-26

 2152 ± 10.1

 189.3 ± 0.0

hElecRingRadius



2000 1800 1600 1400 1200 1000 800 600

pion contamination?

$$n = \frac{1}{\beta cos(\frac{R}{L_F})}$$

 $R(e) = (18.9 \pm 0.16) cm$

190

R(e) will be used to evaluate the refractive index during the run period

measured n = 1.000062

(as the nominal value)

200

2400 □

400

Conclusioni

Run del 2015:

- prestazioni dei singoli rivelatori misurate con i dati 2015 a bassa intensita`, risultano vicine agli obiettivi
- dati principalmente a bassa intensita` (analisi effetuate), ma verificato il funzionamento anche al 100% di intensita` (analisi in corso).
- migliorie effettuate per alcuni sottorivelatori durante l'ultimo shutdown invernale
- Run del 2016: test di vari algoritmi di trigger, analisi dei dati in corso
- Prevista la presa dati fino al 2018
- Dopo il 2018? A seconda degli esiti della misura, verra` presa una decisione sul futuro (dopo il LS2)